

# 动态 $IP_3$ - $Ca^{2+}$ 振荡模型的数值分析

严传魁, 刘深泉

(华南理工大学数学科学学院应用数学系, 广州 510640)

**摘要:** 通过改进 J.W.Shuai 和 P.Jung 钙振荡模型, 得到与  $IP_3$  浓度相关的动态  $IP_3$ - $Ca^{2+}$  振荡模型。利用改进模型, 数值分析依赖性参数  $\lambda$  和钙通道数目  $N$  对  $Ca^{2+}$  振荡的影响, 得到  $Ca^{2+}$  振荡关于参数  $\lambda$  的分叉图、 $Ca^{2+}$  振荡与  $IP_3$  振荡的一致性、钙通道数目  $N$  对  $Ca^{2+}$  振荡的影响等。这些模型结果显示了  $Ca^{2+}$  振荡的特性。

**关键词:**  $Ca^{2+}$  振荡;  $IP_3$ ;  $IP_3R/Ca^{2+}$  通道; 分叉

中图分类号: Q612

## 1 引言

钙离子是细胞内重要的第二信使, 其振荡形成不同的信号基本单位, 导致  $Ca^{2+}$  波信号在时空上的传播, 这些信号变化在细胞活动中起重要作用, 如肌肉收缩、递质释放和细胞分裂及死亡等<sup>[1]</sup>。细胞钙信号的来源主要有两个途径, 细胞外  $Ca^{2+}$  内流和细胞内钙库的释放。

质膜上的  $Ca^{2+}$  通道主要包括三个类型, 电压开启性通道 (voltage-operated channels, VOCs)、受体开启性通道 (receptor-operated channels, ROCs) 和储存开启性通道 (store-operated channels, SOCs)。细胞内  $Ca^{2+}$  通道主要是肌质网 (sarcoendoplasmic reticulum, SR) 和内质网 (endoplasmic reticulum, ER) 的  $Ca^{2+}$  释放通道 Ryanodine 受体和  $IP_3$  受体 (inositol 1,4,5-trisphosphate receptor,  $IP_3R$ )。其中  $IP_3R/Ca^{2+}$  通道在单个细胞或细胞群中, 与  $IP_3$  结合都引起钙库内  $Ca^{2+}$  的释放。此外,  $IP_3$  受体对  $Ca^{2+}$  十分敏感, 少量  $Ca^{2+}$  的释放可增强它们的敏感性, 激活内质网上  $IP_3$  受体, 引起更多  $Ca^{2+}$  释放, 形成  $Ca^{2+}$  的 CICR 机制。这是  $IP_3$ - $Ca^{2+}$  振荡变化的重要环节, 也是本文模型研究的内容。

另外, 细胞膜的两个生理现象也与  $Ca^{2+}$  浓度变化有关。

1) “漏” (leaked system) 机制: 细胞膜对  $Ca^{2+}$  起着屏障作用, 尽管细胞内外  $Ca^{2+}$  浓度相差 10 万倍, 细胞外  $Ca^{2+}$  难以随意进入胞内, 但仍然会有少量  $Ca^{2+}$  通过“漏”系统渗入细胞内。

2) “泵” (pump system) 机制: 当细胞内  $Ca^{2+}$  浓度过高时, 活化的钙调素可激活膜上的  $Ca^{2+}$  泵, 把细胞内  $Ca^{2+}$  泵出细胞外。同时, 内质网上  $Ca^{2+}$  泵的  $Ca^{2+}$  转运能力明显增强, 把  $Ca^{2+}$  从胞浆

泵入内质网的  $Ca^{2+}$  库, 使之以结合钙的形式贮存。当胞浆  $Ca^{2+}$  水平回复到静息状态时, 细胞膜和内质网上  $Ca^{2+}$  的泵活性也随之降至静息水平。

关于细胞膜内外  $Ca^{2+}$  信号的动力学描述, 许多学者提出各种模型刻画这些信号传递变化, 包括  $Ca^{2+}$  通道、 $Ca^{2+}$  泵、 $Ca^{2+}$  泄漏、钙库  $Ca^{2+}$  的影响、 $Ca^{2+}$  缓冲过程并结合细胞外的离子交换等问题的研究<sup>[5-8]</sup>。其中 J. Keizer 和 GW. De Young 提出三亚基结构  $IP_3R/Ca^{2+}$  通道模型<sup>[6]</sup>, 该模型把每一个  $IP_3R$  看成有三个等同的独立亚基结构<sup>[6,9]</sup>, 每个亚基又包括三个位点, 一个可以结合三磷酸肌醇 ( $IP_3$ ) 的位点和两个与  $Ca^{2+}$  有关的位点: 一个促进  $Ca^{2+}$  释放, 另一个抑制  $Ca^{2+}$  释放。用 1 分别表示三个位点的状态为可以结合  $IP_3$ 、促进  $Ca^{2+}$  释放、抑制  $Ca^{2+}$  释放; 反之用 0。若一个亚基的状态为 110 (即可结合  $IP_3$ 、促进  $Ca^{2+}$  释放、不抑制  $Ca^{2+}$  释放), 那么称这个亚基为激活的, 当且仅当三个亚基都被激活的时候  $Ca^{2+}$  通道才打开。由于  $IP_3R$  亚基存在可以与三磷酸肌醇 ( $IP_3$ ) 结合的位点, 通道的打开和  $IP_3$  的浓度应有直接关系。

基于 Keizer 和 De Young 模型, J.W.Shuai 和 P.Jung 提出一个  $Ca^{2+}$  通道随机变化的模型<sup>[7]</sup>, 在固定  $IP_3$  浓度条件下, 考虑引起胞浆  $Ca^{2+}$  浓度变化的三个主要因素:  $IP_3$  受体引起的浓度变化, “钙漏”引起的浓度变化, 以及“钙泵”引起的浓度变化。其中  $IP_3$  受体 ( $Ca^{2+}$  通道) 的变化依赖  $\alpha_h\beta_h$

收稿日期: 2005-04-07

基金项目: 国家自然科学基金项目 (19902005), 国家自然科学基金重点项目 (10432010)

通讯作者: 严传魁, 电话: (020)38672273,  
E-mail: yanchuankui@163.com

双参数 Markov 过程。描述如下：

$$\frac{d[\text{Ca}^{2+}]}{dt} = -I_{\text{Ch}} - I_p - I_L \quad (1)$$

$$\frac{dh}{dt} = \alpha_h(1-h) - \beta_h h \quad (2)$$

其中，

$$\begin{aligned} I_{\text{Ch}} &= c_1 v_1 m_\infty^3 n_\infty^3 h^3 ([\text{Ca}^{2+}] - [\text{Ca}^{2+}]_{\text{ER}}) \\ I_p &= \frac{v_3 [\text{Ca}^{2+}]^2}{k_3^2 + [\text{Ca}^{2+}]^2} \\ I_L &= c_1 v_2 ([\text{Ca}^{2+}] - [\text{Ca}^{2+}]_{\text{ER}}) \end{aligned} \quad (3)$$

此处， $[\text{Ca}^{2+}]$  表示细胞质的钙浓度， $[\text{Ca}^{2+}]_{\text{ER}}$  表示内质网 ER 的钙浓度， $h$  描述通道开放的程度。  
(1)式中的  $I_{\text{Ch}}$  表示  $\text{Ca}^{2+}$  从钙库通过  $\text{IP}_3\text{R}$  造成的浓度变化， $I_p$  表示由“钙泵”引起的浓度变化， $I_L$  表示的是“钙漏”引起的浓度变化， $\alpha_h$  表示亚基通道的打开率， $\beta_h$  表示亚基通道的关闭率。

在固定  $\text{IP}_3$  浓度的情况下，该模型很好地描述了钙离子的变化过程，数值结果解释了钙离子振荡和随参数分叉等实验现象。其缺陷在于模型中假定  $\text{IP}_3$  浓度是固定的，但实际细胞内的  $\text{IP}_3$  浓度也在不断变化， $\text{IP}_3$  的浓度变化和  $\text{Ca}^{2+}$  浓度具有相互依赖关系。主要原因是  $\text{IP}_3\text{R}$  上的亚基存在一个可以结合  $\text{IP}_3$  的位点，因此  $\text{IP}_3$  浓度影响通道的打开率，而通道的打开率直接影响  $\text{Ca}^{2+}$  振荡；同时  $\text{Ca}^{2+}$  浓度对  $\text{IP}_3$  的生成具有反馈作用。本文在  $\text{IP}_3$  浓度变化情况下，研究 Shuai 和 Jung 模型的变化。

## 2 模型改进

为分析  $\text{IP}_3$  浓度变化对  $\text{Ca}^{2+}$  浓度的影响，这里用文献[6]给出  $\text{IP}_3$  浓度反馈模型，其动力学描述为：

$$\frac{d[\text{IP}_3]}{dt} = v_4 \frac{[\text{Ca}^{2+}] + (1-\lambda)k_4}{[\text{Ca}^{2+}] + k_4} - I_r [\text{IP}_3] \quad (4)$$

其中， $[\text{IP}_3]$  表示  $t$  时刻  $\text{IP}_3$  的浓度， $I_r$  表示  $\text{IP}_3$

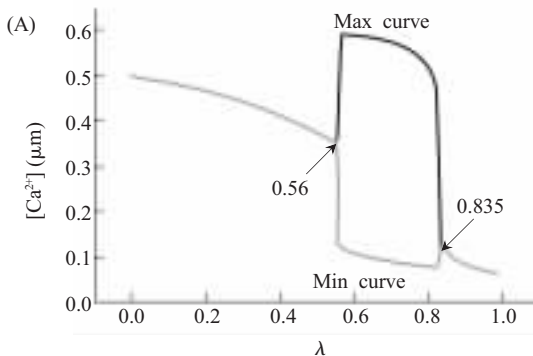


Fig.1 (A) The bifurcation of  $[\text{Ca}^{2+}]$  for parameter  $\lambda$ ;

损失率， $\lambda$  为  $\text{IP}_3$  对  $\text{Ca}^{2+}$  的依赖性参数。若依赖性参数  $\lambda=0$ ， $[\text{IP}_3]$  的变化与  $[\text{Ca}^{2+}]$  无关，当  $\lambda=1$  时， $[\text{IP}_3]$  变化对  $[\text{Ca}^{2+}]$  的依赖性最大。

方程(2)描述的是关于  $\text{IP}_3\text{R}$  打开和关闭的随机过程，在 Li-Rinzel 模型中<sup>[5]</sup>，当  $h=1$  表示亚基打开，当  $h=0$  表示亚基关闭，因为每个  $\text{IP}_3\text{R}$  有三个亚基，所以方程(3)中描述为  $h$  的三次幂。对于每个亚基的随机状态变化，描述为  $\alpha_h$ - $\beta_h$  双参数 Markov 过程， $\text{IP}_3\text{R}$  是打开的当且仅当三个亚基都是打开的，即  $\text{IP}_3\text{R}/\text{Ca}^{2+}$  通道是打开的。那么  $\text{Ca}^{2+}$  通道动力模型中，方程(3)中的第一个方程修正为：

$$I_{\text{Ch}} = c_1 v_1 m_\infty^3 n_\infty^3 \frac{N^{h-\text{open}}}{N} ([\text{Ca}^{2+}] - [\text{Ca}^{2+}]_{\text{ER}}) \quad (5)$$

其中， $N^{h-\text{open}}$  表示打开的  $\text{Ca}^{2+}$  通道数， $N$  表示  $\text{Ca}^{2+}$  通道总数。

至此，通过对  $[\text{IP}_3]$  与  $[\text{Ca}^{2+}]$  关系的描述，将原来 Shuai-Jung 模型改进为由方程(1)~(5)建立的动态  $\text{IP}_3\text{-Ca}^{2+}$  振荡模型，它包含  $\text{IP}_3$  浓度变化的影响。

## 3 模型的求解与分析

首先研究(1)~(4)组成的扩展模型，它刻画  $N$  趋于无穷的情况，在这种理想状态下分析依赖性参数  $\lambda$ ，即研究  $[\text{IP}_3]$  对  $[\text{Ca}^{2+}]$  的影响。对每个  $\lambda$  先数值解出  $\text{Ca}^{2+}$  振荡图，取振荡图的一段，不妨取 500~1 000 s，求得这一段振荡中的  $[\text{Ca}^{2+}]$  最大值与最小值。因此，每一个  $\lambda$  值对应于唯一  $[\text{Ca}^{2+}]$  最大值与唯一  $[\text{Ca}^{2+}]$  最小值，得图 1A。

图 1 表明，在  $\lambda < 0.56$  或  $\lambda > 0.835$  时，最大值与最小值是重合的，也就是说当  $\lambda < 0.56$  或  $\lambda > 0.835$  时  $\text{Ca}^{2+}$  没有振荡行为，钙浓度变化稳定。而

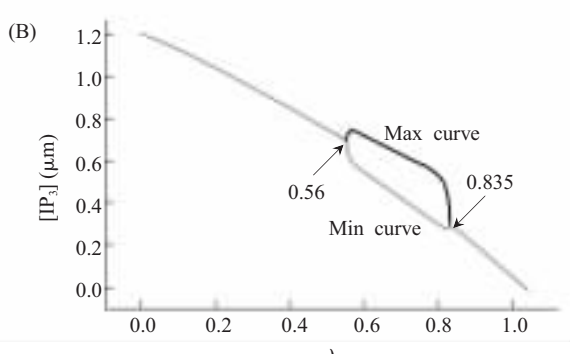


Fig.1 (B) The bifurcation of  $[\text{IP}_3]$  for parameter  $\lambda$

在中间部分最大值与最小值的不同，表明 Ca<sup>2+</sup> 出现振荡变化。即在  $\lambda=0.56$  和  $\lambda=0.835$  处，依赖性参数  $\lambda$  出现分叉现象。用同样方法做同样的分析，对 [IP<sub>3</sub>] 得到图 1B。其中分叉点的  $\lambda$  值与 [Ca<sup>2+</sup>] 是一样的。

依赖性参数  $\lambda$  刻画了 IP<sub>3</sub> 对 Ca<sup>2+</sup> 的依赖性，图 1 的结果表明 Ca<sup>2+</sup> 振荡和 IP<sub>3</sub> 振荡对相关依赖性参数有分叉现象产生。

下面讨论通道数目  $N$  是有限值的情形。

动态 IP<sub>3</sub>-Ca<sup>2+</sup> 振荡模型的求解基于 IP<sub>3</sub>R 的三亚基结构，关键在于理论描述  $N^{h\text{-open}}$ ，即 Ca<sup>2+</sup> 通道打开的 IP<sub>3</sub>R 数，Shuai-Jung 模型假设每一亚基的状态变化满足一个  $\alpha_h$ - $\beta_h$  双参数 Markov 过程<sup>[11]</sup>（其它方法参考文献[20]）。

用  $x_{ij}$  表示第  $i$  个 IP<sub>3</sub>R 的第  $j$  个亚基的开关状态， $i=1, 2, \dots, N$ ;  $j=1, 2, 3$ 。那么  $x_{ij}=0$  或 1，打开时取 1，关闭时取 0。由于求解过程的关键在于 Markov 过程中亚基的状态变化，因此，亚基的初始状态对结果不会有太大的影响。先用计算机产生一个 (0, 1) 上均匀分布的随机数来初始化每一个亚基状态，当随机数大于 0.5 时，取  $x_{ij}=1$ ，否则  $x_{ij}=0$ 。那么，当且仅当  $\sum_{j=1}^3 x_{ij}=3$  时，第  $i$  个 IP<sub>3</sub>R 的 Ca<sup>2+</sup> 通道是打开的，于是就有：

$$N^{h\text{-open}} = \sum_{i=1}^N \left[ \sum_{j=1}^3 \frac{x_{ij}}{3} \right] \quad (6)$$

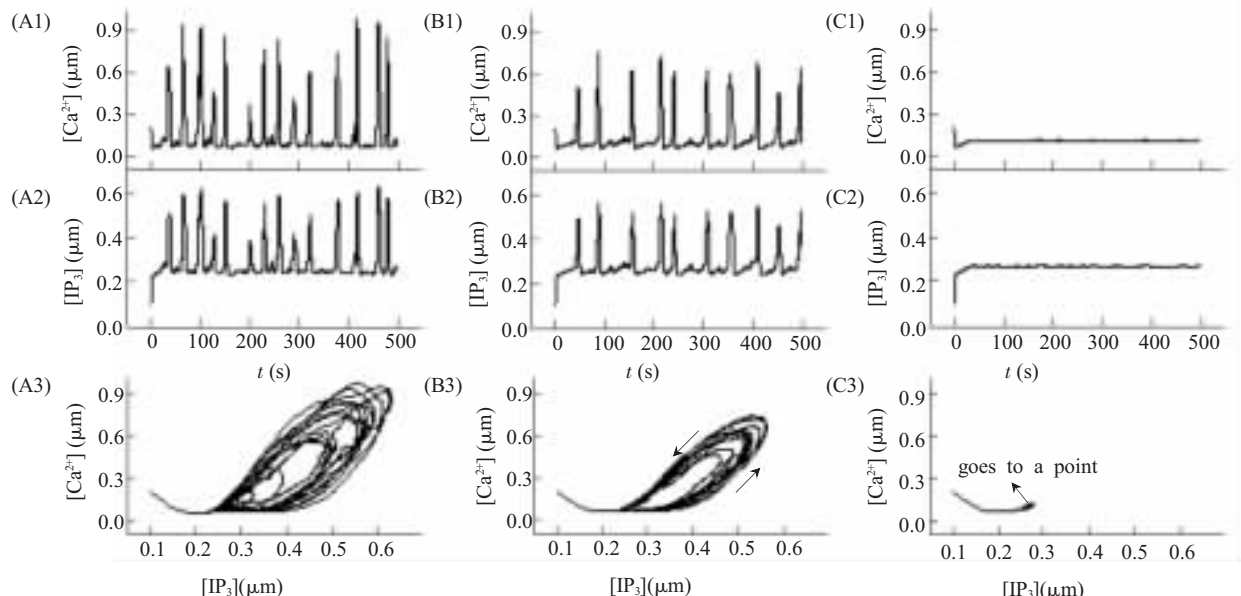


Fig.2 (A1-A3) The oscillation of  $[Ca^{2+}]$ ,  $[IP_3]$  and the phase plane for  $N=20$ ,  $\lambda=0.85$ ; (B1-B3) The oscillation of  $[Ca^{2+}]$ ,  $[IP_3]$  and the phase plane for  $N=100$ ,  $\lambda=0.85$ ; (C1-C3) The oscillation of  $[Ca^{2+}]$ ,  $[IP_3]$  and the phase plane for  $N=20000$ ,  $\lambda=0.85$

符号  $\lceil \cdot \rceil$  为取整函数。显然，对于每一个  $i$ ，IP<sub>3</sub>R 的 Ca<sup>2+</sup> 通道打开时  $\lceil \sum_{j=1}^3 \frac{x_{ij}}{3} \rceil = 1$ ，关闭时  $\lceil \sum_{j=1}^3 \frac{x_{ij}}{3} \rceil = 0$ 。

在此 Markov 过程中，取较小的步长  $\delta_t$ ，则  $\alpha_h \delta_t$ 、 $\beta_h \delta_t$  是整个随机过程中亚基状态  $x_{ij}$  变化的主要依据。亚基状态变化可能性序列  $\omega_{ij}$  的产生方法来自文献<sup>[12]</sup>。若某一亚基状态  $x_{ij}=1$ ，且  $\omega_{ij} < \beta_h \delta_t$ ，则  $x_{ij}=0$ ，即一次状态变化；否则仍然有  $x_{ij}=1$ 。同理，若  $x_{ij}=0$ ，且  $\omega_{ij} < \alpha_h \delta_t$ ，则  $x_{ij}=1$ ；否则  $x_{ij}=0$ 。

模型计算中选取的参数分别为：

$$\begin{aligned} a_2 &= 0.2 \text{ } \mu\text{m}^{-1}\text{s}^{-1}, \quad I_r = 1.0 \text{ s}^{-1}, \quad c_0 = 2.0 \text{ } \mu\text{m}, \quad c_1 = 0.185, \\ v_1 &= 6 \text{ s}^{-1}, \quad v_2 = 0.11 \text{ s}^{-1}, \quad v_3 = 0.9 \text{ } \mu\text{ms}^{-1}, \quad v_4 = 1.2 \text{ s}^{-1}, \quad k_3 = 0.1 \text{ } \mu\text{m}, \\ k_4 &= 1.1 \text{ } \mu\text{m}, \quad d_1 = 0.13 \text{ } \mu\text{m}, \quad d_2 = 1.049 \text{ } \mu\text{m}, \\ d_3 &= 0.9434 \text{ } \mu\text{m}, \quad d_5 = 0.08234 \text{ } \mu\text{m}, \end{aligned}$$

另外

$$\begin{aligned} m_\infty &= \frac{[IP_3]}{[IP_3]+d_1}, \quad n_\infty = \frac{[Ca^{2+}]}{[Ca^{2+}]+d_5} \\ \alpha_h &= \frac{a_2 d_2 ([IP_3]+d_1)}{([IP_3]+d_3)}, \quad \beta_h = a_2 [Ca^{2+}] \\ [Ca^{2+}]_{ER} &= \frac{c_0 - [Ca^{2+}]}{c_1} \end{aligned} \quad (7)$$

注意模型中包含  $N$  和  $\lambda$  两个控制变量。这里先分析通道数目  $N$  的影响。计算中取较小的步长  $\delta_t=0.01 \text{ s}$ 。结果如图 2。

图2中, 取 $\lambda=0.85$ , 其中A1、B1、C1为 $N=20$ 、200、20 000时 $\text{Ca}^{2+}$ 振荡, A2、B2、C2为对应 $\text{IP}_3$ 振荡, A3、B3、C3为对应 $[\text{Ca}^{2+}]$ 关于 $[\text{IP}_3]$ 的相图。

图2显示, 胞浆中的 $\text{Ca}^{2+}$ 出现振荡变化。纵向观察图2, 对照 $\text{Ca}^{2+}$ 振荡图(A1-B1-C1)与 $\text{IP}_3$ 振荡图(A2-B2-C2),  $\text{IP}_3$ 浓度变化和 $\text{Ca}^{2+}$ 振荡具有很高的一致性, 这是因为 $\text{IP}_3$ 浓度的上升直接导致 $\text{IP}_3\text{R}$ 的 $\text{Ca}^{2+}$ 通道打开数的增多, 于是 $\text{Ca}^{2+}$ 浓度自然随之上升, 反之,  $\text{Ca}^{2+}$ 浓度自然随之下降。由于过高的 $\text{Ca}^{2+}$ 浓度对细胞是有害的, 所以当 $\text{Ca}^{2+}$ 浓度到达一定的峰值的时候, 细胞会启动一定的自我保护机制, 活化的钙调素可激活膜上的 $\text{Ca}^{2+}$ 泵, 大大加强“钙泵”将 $\text{Ca}^{2+}$ 泵回ER的能力(钙的回流, 即 $I_p$ 部分), 强制 $\text{Ca}^{2+}$ 浓度下降, 这些理论结果和实验现象一致<sup>[13]</sup>。

注意图1中通道数无穷时,  $\lambda=0.835$ 处出现分叉, 计算中取 $\lambda=0.85$ , 解应该是稳定的, 不产生振

荡变化。(图2 C1、C2、C3)表明当 $N$ 逐渐变大, 振荡幅度将越来越小, 故当 $N$ 趋向无穷时, 解趋向稳定, 不产生振荡变化, 这和图1中关于 $\lambda$ 的分叉性质一致。但是一簇通道单元含有的通道数目为有限较为合理, 实际上的 $\text{Ca}^{2+}$ 振荡行为是存在的。

通道数目 $N$ 对振荡有直接影响。若定义 $d_N$ 为钙振荡的最大幅度, 即振荡的最大值减去最小值, 则 $d_N$ 可描述 $N$ 与钙振荡程度的关系。图3显示随着 $N$ 的增大, 钙振荡的最大幅度总体趋势为慢慢变小, 其中(A)和(C)最后 $d_N$ 趋向于0, (B)最后 $d_N$ 缓缓减小, 但不趋向于0。这表明当 $N$ 趋向于无穷的时候, (A) $\lambda=0.20$ 和(C) $\lambda=0.85$ 的解趋向稳定, 不产生振荡, 而(B) $\lambda=0.60$ 的解仍然存在振荡, 这和前面得到的图1的分叉结果一致。 $d_N$ 不是严格随 $N$ 减小, 图3显示在减小过程中 $d_N$ 也存在振荡, 特别是 $\lambda=0.85$ 时, 在 $N=2000\sim5000$ 之间振荡较大。

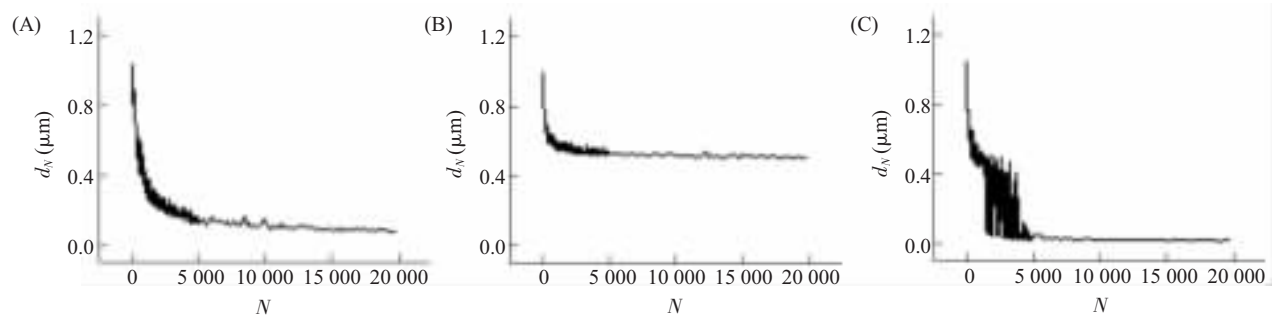
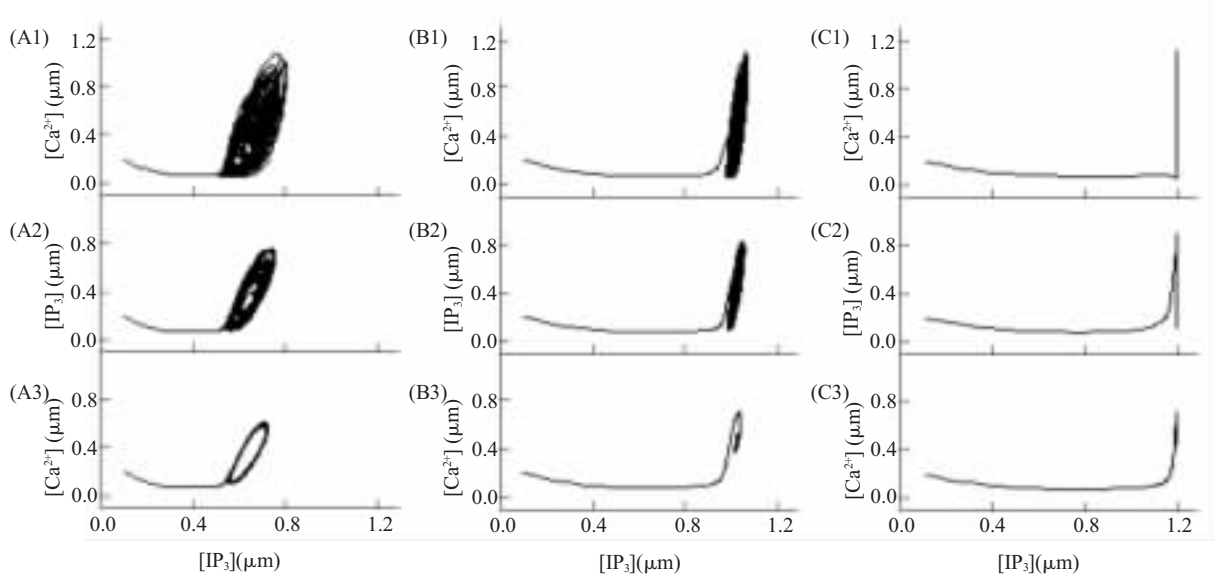


Fig.3 The curve about  $d_N$  when  $N$  changed for (A)  $\lambda=0.20$ , (B)  $\lambda=0.60$ , (C)  $\lambda=0.85$

参数 $\lambda$ 描述 $\text{IP}_3$ 对 $\text{Ca}^{2+}$ 的依赖性, 其变化应该对振荡过程产生影响。图4描述的是参数 $\lambda$ 变化和钙振荡的关系。图4表明, 随着 $\lambda$ 变小,  $\text{Ca}^{2+}$ 与 $\text{IP}_3$ 振荡的频率逐渐加大。图4 C1-C2-C3显示, 当参数 $\lambda=0$ 时,  $\text{IP}_3$ 振荡变为一条直线。这和实际一致, 因为此时 $[\text{IP}_3]$ 的变化与 $[\text{Ca}^{2+}]$ 无关,  $[\text{IP}_3]$ 稳定。这个结果与文献[7]得到的结果一致, Shuai-Jung模型中假定 $[\text{IP}_3]$ 为定值正是这种情况。

当 $\lambda=0.20$ 、 $N=20000$ 时, 相图变为点状,  $\text{Ca}^{2+}$ 振荡趋向稳定(图4 B3); 当 $\lambda=0.60$ 、 $N=20000$ 时,  $\text{Ca}^{2+}$ 振荡明显(图4 A3); 再有 $\lambda=0.85$ 、 $N=20000$ 时,  $\text{Ca}^{2+}$ 振荡趋向稳定(图2 C3)。 $N$ 较大时, 图4给出了当 $\lambda<0.56$ 、 $0.56<\lambda<0.835$ 和 $\lambda>0.835$ ,  $\text{Ca}^{2+}$ 振荡的三种情况, 再次验证了当 $N$ 趋向无穷大的时候,  $\text{Ca}^{2+}$ 振荡随依赖性参数 $\lambda$ 的变化出现分叉。



**Fig.4** (A1-A3) The phase plane for  $\lambda=0.60$  and  $N=20, 200, 20\,000$ ; (B1-B3) The phase plane for  $\lambda=0.20$  and  $N=20, 200, 20\,000$ ; (C1-C3) The phase plane for  $\lambda=0$  and  $N=20, 200, 20\,000$

## 4 讨 论

本文在 Shuai-Jung 模型的基础上, 数值分析了动态 IP<sub>3</sub>-Ca<sup>2+</sup>振荡模型, 得到 Ca<sup>2+</sup>振荡和 IP<sub>3</sub>浓度随时间的变化关系, 两个重要参数: Ca<sup>2+</sup>通道数目  $N$  和依赖性参数  $\lambda$ , 对 Ca<sup>2+</sup>振荡的影响做了分析。当  $N$  趋向无穷时, Ca<sup>2+</sup>振荡随参数  $\lambda$  的变化出现分叉现象。当通道数目变化时, 结果显示 Ca<sup>2+</sup>振荡与 IP<sub>3</sub>浓度变化具有一致性, 依赖性参数  $\lambda$  增加时, Ca<sup>2+</sup>振荡的形式更加丰富, 这显示 IP<sub>3</sub> 的影响越来越大。一般情形下, 通道数目和依赖性参数的影响相当复杂。

神经放电和 Ca<sup>2+</sup>的关系国内有很多研究, 实验结果显示<sup>[14]</sup>, 当 Ca<sup>2+</sup>的浓度变化时, 放电节律可以经历一个从周期 1 簇放电到周期 1 峰放电的复杂分叉过程, 其中包括倍周期分叉到混沌簇放电、混沌簇放电经激变到混沌峰放电、混沌峰放电由逆倍周期分叉到周期放电等过程。利用兴奋细胞的 Chay 模型的计算结果显示<sup>[15]</sup>, 若用 Ca<sup>2+</sup>的平衡电位为参数, 计算得到 ISI 逐次分叉过程, 周期 1、2 簇放电经倍周期分叉到混沌, 周期 3 经倍周期分叉到混沌等等, 实验结果和 Chay 模型的计算基本类似。这里通过 Ca<sup>2+</sup>模型, 计算得到放电活动中, Ca<sup>2+</sup>和 IP<sub>3</sub>的分叉结果等。这表明由 Ca<sup>2+</sup>引起的振

荡是神经细胞的内在特性, Ca<sup>2+</sup>和 IP<sub>3</sub>的振荡分叉内涵神经传导的编码。特别是离子通道数目的改变, Ca<sup>2+</sup>和 IP<sub>3</sub>相图出现实验中出现的波纹振荡, 显示 Ca<sup>2+</sup>波振荡的多样性。这些模型结果对理解 Ca<sup>2+</sup>的振荡有一定意义。

## 参考文献:

- [1] 张睢扬, 郭先健. 钙信号基本单位和特征的研究进展. 生物科学进展, 2000, 31(2):109~114
- [2] 应阳君, 黄祖洽. 细胞钙振荡对周期信号的响应和胞间同步. 计算物理, 2001, 18(5):412~416
- [3] Longo EA, Tornheim K, Deeney JT, Varhum BA, Tillotson D, Prentki M, Corkey BE. Oscillations in cytosolic free Ca<sup>2+</sup>, oxygen consumption, and insulin secretion in glucose-stimulated rat pancreatic islets. *J Biol Chem*, 1991, 266: 9314~9319
- [4] Sugimoto Y, Fu T, Hirochika R, Nakauchi H, Ikawa Y, Nozawa Y. Thy-1 inhibits mitogen-induced Ca<sup>2+</sup> oscillation in ras-transformed mouse fibroblasts. *Exp Cell Res*, 1992, 203: 230~235
- [5] Li Y, Rinzel J. Equations for InsP<sub>3</sub> receptor-mediated [Ca<sup>2+</sup>] oscillations derived from a detailed kinetic model: a Hodgkin-Huxley like formalism. *J Theor Biol*, 1994, 166: 461~472
- [6] Keizer J, De Young GW. Two roles for Ca<sup>2+</sup> in agonist stimulated Ca<sup>2+</sup> oscillations. *Biophys*, 1992, 61:649~660
- [7] Shuai JW, Jung P. Optimal intracellular calcium signaling. *Phy Rev Lett*, 2002, 88, 068102
- [8] 杨华, 陈良怡, 齐欢. 三磷酸肌醇影响钙释放的数学模型研

- 究. 生物物理学报, 2001, 17(2):344~350
- [9] Ferris CD, Huganir RL, Supattapone S, Snyder SH. Purified inositol 1,4,5-trisphosphate receptor mediated calcium flux in reconstituted lipid vesicles. *PNAS (lond)*, 1989, 34(2):87~89
- [10] Strassberg AF, Defelice LJ. Limitations of the Hodgkin-Huxley formalism—Effects of single channel kinetics on transmembrane voltage dynamics. *Neural Comput.*, 1993, 5:843~855
- [11] Shuai JW, Jung P. Optimal size of ion channel clusters. *Europhys. Lett.*, 2001, 56(1):29~35
- [12] Numerical Recipes Software. <Numerical Recipes>, chapter 7. Cambridge University Press
- [13] 孙大业, 郭艳林, 马力耕, 崔素娟. 细胞信号转导. 北京:科学出版社. 2003:73~118
- [14] 古华光, 任维. 神经自发放电的确定性和随机性整数信节律的比较. 生物物理学报, 2003, 19(3):272~278
- [15] Yong ZQ, Lu QS, Gu HG, Ren W. Integer multiple spiking in the stochastic chay model and its dynamical generation mechanism. *Physics Letters A*, 2001, 299:499~506
- [16] 阮炯, 顾凡及, 蔡志杰. 神经动力学模型方法和应用. 北京: 科学出版社. 2002:32~85
- [17] Mouillac B, Balestre MN, Guillon G. Positive feedback regulation of phospholipase C by vasopressin-induced calcium mobilization in WRK1 cells. *Cell Signal*, 1990, 2(5):497~507
- [18] Smrcka AV, Helper JR, Brown KO, Sternweis PC. Regulation of polyphosphoinositide-specific phospholipase C activity by purified Gq. *Science*, 1991, 251:804~807
- [19] Taylor SJ, Exton JH. Guanine-nucleotide and hormone regulation of polyphosphoinositide phospholipase C activity of rat liver plasma membranes. Bivalent-cation and phospholipid requirements. *Biochem J*, 1987, 248:791~799
- [20] 杨宝峰主编. 离子通道药理学. 北京:人民卫生出版社. 2005: 151~189

## THE NUMERICAL STUDY OF DYNAMICAL IP<sub>3</sub>-Ca<sup>2+</sup> OSCILLATION MODEL

YAN Chuan-kui, LIU Shen-quan

(Department of Applied Mathematics, School of Mathematical Sciences, South China University of Technology,  
Guangzhou 510640, China)

**Abstract:** In this paper, with help of improved J.W.Shuai and P.Jung Ca<sup>2+</sup> oscillation model, the dynamical IP<sub>3</sub>-Ca<sup>2+</sup> oscillation model connected with varying IP<sub>3</sub> concentration was obtained. Using revised model, the effect of dependence parameter  $\lambda$  and number of Ca<sup>2+</sup> channels  $N$  on Ca<sup>2+</sup> oscillation was analyzed. The bifurcation diagrams of Ca<sup>2+</sup> oscillation as a function of  $\lambda$  was found. The coherence of Ca<sup>2+</sup> oscillation and IP<sub>3</sub> oscillation was gained and the effect of number of Ca<sup>2+</sup> channels  $N$  on Ca<sup>2+</sup> oscillation was studied. These model results reveal the properties of Ca<sup>2+</sup> oscillation.

**Key Words:** Ca<sup>2+</sup> oscillation; IP<sub>3</sub>; IP<sub>3</sub>R/ Ca<sup>2+</sup> channels; Bifurcation